

О. М. ШАБЛІЙ

### ПРУЖНО-ПЛАСТИЧНИЙ СТАН КРУГЛОЇ ПЛИТИ, ПІДКРІПЛЕНОЇ КОНЦЕНТРИЧНИМ РЕБРОМ ЖОРСТКОСТІ

Постановка задачі. Розглянемо круглу тонку пружну ізотропну плиту постійної товщини  $2h$  з радіусом  $R$ , підкріплена концентричним кільцем на довільному радіусі  $R_1$ .

Плита жорстко закріплена на контурі  $r = R$  і знаходиться під дією рівномірно розподіленого навантаження по всій поверхні плити. Кільце будемо вважати тонким, тобто таким, деформації якого описуються рівняннями малих деформацій тонких криволінійних стержнів. Середня площа кільца співпадає з середньою площею плити.

Потрібно: 1) визначити границю пружного опору плити, тобто знайти для кожного підкріплюючого кільца в залежності від його жорсткості та положення на радіусі відповідне максимальне значення навантаження, при якому появляється перша пластична зона на поверхні плити; 2) визначити пружно-пластичний стан плити. Тому що ми будемо оперувати тільки величиною жорсткості кільца, то вона може бути розшифрована як жорсткість пружного або пружно-пластичного кільца відповідних розмірів. Коефіцієнт Пуассона вважається рівний  $\nu = 0,5$ .

Вихідні формулі рівняння і позначення. Для зручності позначимо: область всередині кільца  $D_1$ , зовні кільца —  $D$ , границю між ними —  $L_1$ , зовнішню границю —  $L$ . Індекс  $(1)$  завжди буде відноситися до області  $D_1$ . Введемо такі відомі [1] позначення рівняння і формули, які мають місце в області  $D_1$  і  $D$ :

$$x = \frac{r}{R}, \quad z = \frac{Z}{h}, \quad w = \frac{W}{h}, \quad b = \frac{R_1}{R} - \quad (1)$$

безрозмірні координати, прогин і радіус;

$$\begin{aligned} \alpha(x) &= -\frac{2}{3} \frac{E}{\sigma_s} \left( \frac{h}{R} \right)^2 \left( 2 \frac{d^2 w}{dx^2} + \frac{1}{x} \frac{dw}{dx} \right), \\ \zeta(x) &= -\frac{2}{3} \frac{E}{\sigma_s} \left( \frac{h}{R} \right)^2 \left( \frac{d^2 w}{dx^2} + \frac{2}{x} \frac{dw}{dx} \right) - \end{aligned} \quad (2)$$

безрозмірні функції, які зв'язані співвідношенням

$$\frac{d\alpha}{dx} - 2 \frac{d\zeta}{dx} = \frac{3(\alpha - \zeta)}{x}; \quad (3)$$

$\sigma_s$  — умовна границя текучості матеріалу плити;

$$w = -\frac{1}{2} \frac{\sigma_s}{E} \left( \frac{R}{h} \right)^2 \int (2\zeta - \alpha) x dx + C, \quad (4)$$

$$\frac{dw}{dx} = -\frac{1}{2} \frac{\sigma_s}{E} \left( \frac{R}{h} \right)^2 (2\zeta - \alpha) x - \quad (5)$$

безрозмірний прогин і його похідна.

Напруження при пружних деформаціях визначаються за формулами:

$$\sigma_r = \sigma_s \alpha z, \quad \sigma_\theta = \sigma_s \zeta z. \quad (6)$$

Умовою пластичності візьмемо умову постійності найбільшого за модулем дотичного напруження:

$$\tau = \kappa_* \tau_s, \quad (7)$$

де  $\tau_s$  — умовна границя текучості для зсуву (в нашому випадку  $\tau_s = 1/2 \sigma_s$ ),  $\kappa_* = \text{sign} \gamma$  — кут зсуву,  $\tau$  — найбільше головне дотичне напруження, яке визначається однією з формул:

$$\tau_1 = \frac{1}{2} |\sigma_\theta|; \quad \tau_2 = \frac{1}{2} |\sigma_r|; \quad \tau_3 = \frac{1}{2} |\sigma_r - \sigma_\theta|. \quad (8)$$

Напруження в областях пружно-пластичних деформацій визначаються за формулами:

$$\sigma_r = \kappa \frac{\alpha}{\zeta} \sigma_s; \quad \sigma_\theta = \kappa \sigma_s, \quad \text{коли } |\tau_1| \geq \begin{cases} |\tau_2| \\ |\tau_3| \end{cases}, \quad (9)$$

$$\sigma_r = -\kappa \sigma_s; \quad \sigma_\theta = -\kappa \frac{\zeta}{\alpha} \sigma_s, \quad \text{коли } |\tau_2| \geq \begin{cases} |\tau_1| \\ |\tau_3| \end{cases}, \quad (10)$$

$$\sigma_r = -\kappa \frac{\alpha}{\alpha - \zeta} \sigma_s; \quad \sigma_\theta = -\kappa \frac{\zeta}{\alpha - \zeta} \sigma_s, \quad \text{коли } |\tau_3| \geq \begin{cases} |\tau_1| \\ |\tau_2| \end{cases}, \quad (11)$$

$$\kappa = \text{sign} z.$$

Рівняння рівноваги елементу пластинки в безрозмірних координатах має такий вигляд:

$$\frac{dM_r}{dx} + \frac{M_r - M_\theta}{x} = -RQ(x), \quad (12)$$

де  $Q(x) = \frac{qP}{2} x$  — перерізуюча сила в області  $D_1 + D$ , тому що перерізуюча сила неперервна при переході через  $L_1$ .

Рівняння (11) можна переписати в такому вигляді:

а) для пружних деформацій:

$$\frac{d\alpha}{dx} + \frac{\alpha - \zeta}{x} = -\frac{3}{2} Q_*; \quad Q_* = \frac{R}{\sigma_s h^2} Q(x); \quad (13)$$

б) для пружно-пластичних деформацій:

$$\frac{d\alpha}{dx} \Phi_1 + \frac{d\zeta}{dx} \Phi_2 = \frac{\Phi_3}{x} - Q_*, \quad (14)$$

де

$$\begin{aligned} \Phi_1 &= \frac{1}{\zeta} \left( 1 - \frac{1}{3\zeta^2} \right); \quad \Phi_2 = -\frac{\alpha}{\zeta^2} \left( 1 - \frac{1}{\zeta^2} \right); \quad \Phi_3 = \\ &= \left( 1 - \frac{\alpha}{\zeta} \right) \left( 1 - \frac{1}{3\zeta^2} \right), \quad \text{коли } |\tau_1| \geq \begin{cases} |\tau_2| \\ |\tau_3| \end{cases}, \end{aligned} \quad (15)$$

$$\Phi_1 = -\frac{2}{3} \frac{1}{\alpha^3}; \quad \Phi_2 = 0; \quad \Phi_3 = \left( \frac{\zeta}{\alpha} - 1 \right) \left( \frac{1}{3\alpha^2} - 1 \right), \text{ коли } |\tau_2| \geq \begin{cases} |\tau_1| \\ |\tau_2| \end{cases}, \quad (16)$$

$$\Phi_1 = \frac{1}{(\alpha - \zeta)^2} \left[ \zeta - \frac{2\alpha + \zeta}{3(\alpha - \zeta)^2} \right]; \quad \Phi_2 = \frac{\alpha}{(\alpha - \zeta)^2} \left[ \frac{1}{(\alpha - \zeta)^2} - 1 \right];$$

$$\Phi_3 = 1 - \frac{1}{3(\alpha - \zeta)^2}, \quad \text{коли } |\tau_3| \geq \begin{cases} |\tau_1| \\ |\tau_2| \end{cases}. \quad (17)$$

Пружні деформації. Для визначення функцій  $\alpha(x)$  і  $\zeta(x)$  розв'язуємо систему диференціальних рівнянь (3)–(12). Враховуючи симетрію відносно центра плити, загальним розв'язком цієї системи буде:

в області  $D_1$ :

$$\begin{aligned} \alpha_1(x) &= -\frac{21}{64} px^2 + \frac{C_1}{2}; \\ \zeta_1(x) &= -\frac{15}{64} px^2 + \frac{C_1}{2}; \end{aligned} \quad (18)$$

в області  $D$ :

$$\begin{aligned} \alpha(x) &= -\frac{21}{64} px^2 + \frac{C_2}{x^2} + \frac{C_3}{2}; \\ \zeta(x) &= -\frac{15}{64} px^2 - \frac{C_2}{x^2} + \frac{C_3}{2}; \quad p = \frac{qR^2}{\sigma_s h^2}. \end{aligned} \quad (19)$$

Для визначення сталих  $C_1, C_2, C_3$  маємо дві граничні умови на границі  $L$  і три умови спряження на границі  $L_1$ :

$$w = 0,$$

$$\frac{dw}{dx} = 0 \quad \text{на } L(x = 1),$$

$$w_1 = w,$$

$$\frac{dw_1}{dx} = \frac{dw}{dx},$$

$$\alpha - \alpha_1 = -\frac{3}{2} \frac{A}{\sigma_s h R_1^2 R} \frac{dw}{dx} \quad \text{на } L_1(x = b), \quad (20)$$

де  $A = E_k I_k$  — жорсткість кільця на згин.

Сталі  $C_1, C_2, C_3$  визначаються з другої, четвертої і п'ятої граничних умов. Останні дві умови служать для визначення двох сталих  $C$  при заходженні прогинів за формулою (4) відповідно в області  $D_1$  і  $D$ .

Після визначення сталих функцій  $\alpha(x)$  і  $\zeta(x)$  мають вигляд:  
в області  $D_1$ :

$$\begin{aligned} \alpha_1(x) &= \frac{3p}{64} \left\{ 3b \frac{\Delta b (1 - b^2) + 2}{\Delta (1 - b^2) + 2b} - 7x^2 \right\}, \\ \zeta_1(x) &= \frac{3p}{64} \left\{ 3b \frac{\Delta b (1 - b^2) + 2}{\Delta (1 - b^2) + 2b} - 5x^2 \right\}; \end{aligned} \quad (21)$$

в області  $D$ :

$$\alpha(x) = \frac{3p}{64} \left\{ 3 \frac{\Delta (1 - b^4) + 2b}{\Delta (1 - b^2) + 2b} + \frac{b^2}{x^2} \frac{\Delta (1 - b^2)}{\Delta (1 - b^2) + 2b} - 7x^2 \right\},$$

$$\zeta(x) = \frac{3p}{64} \left\{ 3 \frac{\Delta(1-b^4) + 2b}{\Delta(1-b^2) + 2b} - \frac{b^2}{x^2} \frac{\Delta(1-b^4)}{\Delta(1-b^2) + 2b} - 5x^2 \right\}, \quad (22)$$

де  $\Delta = \frac{9A}{8Eh^3R}$ .

Границя пружного опору плити. Існують області зміни  $\Delta$  і  $b$ , в яких відповідні величини  $|\alpha(x)|$ ,  $|\zeta(x)|$  чи  $|\alpha(x) - \zeta(x)|$  мають максимальне значення. Після аналізу формул (21), (22) виявилося, що кожна з величин  $|\alpha(x=1)|$ ,  $|\zeta_1(x=0)|$ ,  $|\alpha_1(x=b)|$  досягає свого максимального значення порівняно з усіма можливими значеннями всіх цих функцій і  $|\zeta(x) - \alpha(x)|$  [при довільних  $x$ ] відповідно в областях I, II та III, які визначаються такими нерівностями:

область I:

$$0 < b < 0.793, 0 < \Delta < \frac{7b(1-b^2)}{2(3b^2-2b^4-1)};$$

$$0.793 < b < 0.877, 0 < \Delta < \frac{2b}{11b^2-7b^4-4};$$

$$0.877 < b < 1, 0 < \Delta < \frac{7b(1-b^2)}{2(3b^2-2b^4-1)};$$

область II:

$$0.793 < b < 0.877, \frac{2b}{11b^2-7b^4-4} < \Delta < \frac{2(6-7b^2)}{b(1-b^2)};$$

область III:

$$\sqrt{0.5} < b < 0.793, \frac{7b(1-b^2)}{2(3b^2-2b^4-1)} < \Delta < \infty;$$

$$0.793 < b < 0.877, \frac{2(6-7b^2)}{b(1-b^2)} < \Delta < \infty;$$

$$0.877 < b < 1, \frac{7b(1-b^2)}{2(3b^2-2b^4-1)} < \Delta < \infty.$$

В області I значення  $p = p_s$ , при перевищенні якого виникають пластичні деформації, визначається з умови  $\alpha(x=1) = -1$  і дорівнює:

$$p_{s1} = \frac{16}{3} \frac{\Delta(1-b^2) + 2b}{\Delta(1-b^2)^2 + 2b}. \quad (23)$$

В області II з умови  $\zeta_1(x=0) = 1$  визначаємо  $p_s$  у вигляді:

$$p_{s2} = \frac{64}{9} \frac{\Delta(1-b^2) + 2b}{\Delta(1-b^2) b^2 + 2b}. \quad (24)$$

В області III з умови  $\alpha_1(x=b) = -1$  маємо

$$p_{s3} = \frac{32}{3} \frac{\Delta(1-b^2) + 2b}{2\Delta b^2(1-b^2) + 7b^3 - 3b}. \quad (25)$$

Значення  $p_{s1}$  і  $p_{s3}$  при  $\Delta \rightarrow \infty$  асимптотично прямують до величин, які відповідно рівні:

$$p_{s1}(\Delta = \infty) = \frac{16}{3} \frac{1}{1-b^2}, \quad (26)$$

$$p_{s3}(\Delta = \infty) = \frac{16}{3} \frac{1}{b^2}, \quad (27)$$

причому формула (26) вірна при  $0 \leq b \leq \sqrt{0.5}$ , а (27) при  $\sqrt{0.5} \leq b < 1$ . Звідси випливає, що максимальна границя пружного опору кільця дорівнює:

$$p_s = p_{s1}(\Delta = \infty, b = \sqrt{0.5}) = p_{s3}(\Delta = \infty, b = \sqrt{0.5}) = \frac{32}{3},$$

тобто вона в два рази більша від границі пружного опору жорстко закріпленої плити без підкріплюючого кільця ( $\Delta = 0$ ).

Оптимальне розміщення кільця на радіусі визначається з таких рівнянь:

$$0 < \Delta < 7.3, \Delta b^4 - 3b^3 - 2\Delta b^2 + b + \Delta = 0, \quad (28)$$

$$7.3 < \Delta < 11, 7\Delta b^4 - 11\Delta b^2 + 2b + 4\Delta = 0, \quad (29)$$

$$11 < \Delta < \infty, 4\Delta b^4 - 7b^3 - 6\Delta b^2 + 7b + 2\Delta = 0. \quad (30)$$

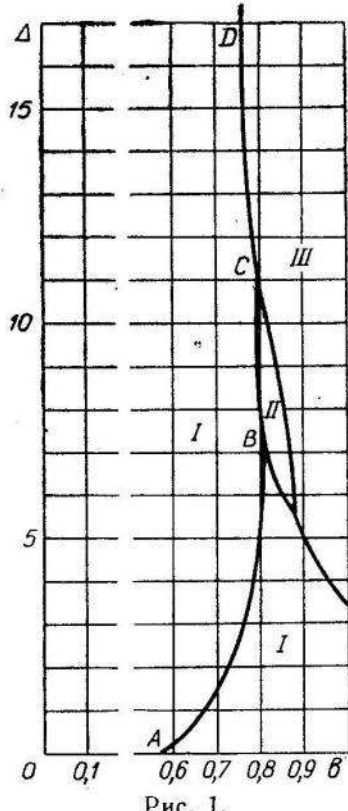


Рис. 1.

В прямокутній системі координат ( $\Delta, b$ ) ці рівняння будуть описувати деяку ламану криву  $ABCD$  (рис. 1). Цю криву назовемо кривою оптимального розміщення. Для точок кривої  $ABCD$  при значеннях  $\Delta > 20$  підкріплюче кільце з достатньою для практики точністю (до 4%) можна вважати за абсолютно жорстке, тобто для них можна вважати, що

$$p_s = \frac{16}{3} \frac{1}{b^2}.$$

Пружно-пластичний напруженій стан. При значеннях навантаження, коли  $p > p_s$ , для визначення  $a(x)$ ,  $\zeta(x)$  потрібно розв'язувати пружно-пластичну задачу.

В областях пружно-пластичних деформацій  $a(x)$  і  $\zeta(x)$  визначаються з системи рівнянь (3)–(14) при відповідних значеннях функцій  $\Phi_1$ ,  $\Phi_2$  і  $\Phi_3$ .

Будемо розглядати пружно-пластичний напруженій стан плити при значеннях  $(\Delta, b)$ , які лежать на кривій оптимального розміщення  $ABCD$ . Аналогічно це можна робити для всіх інших значень  $(\Delta, b)$ .

Коли  $(\Delta, b)$  належать кривій  $AB$ , то  $|a(x=1)|$  буде максимальним і з рівнянь (14), (3) одержимо

$$\frac{d\zeta}{dx} = \left[ \frac{3}{8} px^2 - \frac{3}{4} \left( 1 - \frac{\zeta}{a} \right) \left( 1 - \frac{7}{3a^2} \right) \right] \frac{a^3}{x}. \quad (31)$$

При значенні навантаження, коли  $p > p_{s1}$ , біля границі  $L$  появляється зона пружно-пластичних деформацій, яка поширюється на відрізку  $0_1 \leq x \leq 1$ , і функції  $a(x)$ ,  $\zeta(x)$  визначаються інтегруванням системи (3)–(31) при граничних умовах

$$\zeta = \zeta_{s1}; 2\zeta(x=1) = a(x=1). \quad (32)$$

При  $0 < x < q_1$  плита буде в пружному стані і функції  $a(x)$  і  $\zeta(x)$  визначатимуться за формулами (18), (19).

Після задоволення останніх двох умов (20) функції  $a(x)$  і  $\zeta(x)$  мають такий вигляд:

при  $0 \leq x \leq b$ :

$$\begin{aligned} a_1(x) &= -\frac{21}{64}px^2 + \zeta_0; \\ \zeta_1(x) &= -\frac{15}{64}px^2 + \zeta_0; \end{aligned} \quad (33)$$

при  $b \leq x \leq 1$ :

$$\begin{aligned} a(x) &= -\frac{21}{64}px^2 + \frac{\Delta}{x^2} \left( \frac{b}{6}\zeta_0 - \frac{3pb^3}{128} \right) + \zeta_0 \left( \frac{\Delta}{2b} + 1 \right) - \frac{9p\Delta b}{128}; \\ \zeta(x) &= -\frac{15}{64}px^2 - \frac{\Delta}{x^2} \left( \frac{b}{6}\zeta_0 - \frac{3pb^3}{128} \right) + \zeta_0 \left( \frac{\Delta}{2b} + 1 \right) - \frac{9p\Delta b}{128}, \end{aligned} \quad (34)$$

де  $\zeta_0 = \zeta_1(x=0) = a_1(x=0)$ .

З умови  $a(x=q) = -1$  одержимо рівняння для визначення  $q_1$  у вигляді:

$$\frac{21}{64}p\rho_1^4 + \left\{ \frac{9p\Delta b}{128} - \zeta_0 \left( \frac{\Delta}{2b} + 1 \right) - 1 \right\} \rho_1^2 - \Delta \left( \frac{b}{6}\zeta_0 - \frac{3pb^3}{128} \right) = 0. \quad (35)$$

Тому, що система рівнянь (3) — (31) нелінійна, інтегрування її будемо проводити наближеним методом. Процес підрахунків виглядає так.

Припустивши, що  $p > p_s$ , вибираємо значення  $\zeta_0$ , а потім за формулою (35) визначаємо  $q_1$  і за (34) —  $\zeta(x=q_1)$ .

В інтервалі  $q_1 < x < 1$  обчислення ведуться за формулами:

$$a_{n+1} = a_n + \left( \frac{da}{dx} \right)_n \delta x; \quad \zeta_{n+1} = \zeta_n + \left( \frac{d\zeta}{dx} \right)_n \delta x, \quad (36)$$

де  $a_n, \zeta_n$  — значення цих функцій на початку  $n$ -го інтервалу.

Підбираємо  $\zeta_0$  так, щоб задовольнити другу з граничних умов (32). Збільшуючи навантаження, обчислення проводимо таким способом до появи другої пластичної зони, для якої теж потрібно розв'язувати пружно-пластичну задачу.

Змінюючи ( $\Delta, b$ ) по кривій  $BC$ , будемо мати випадок одночасної появи пластичних зон біля границі  $L [q_2 < x < 1]$  і в центрі плити  $[0 < x < q_3]$ . В інтервалі  $q_2 < x < 1$  потрібно інтегрувати систему (3) — (31), а в  $[0 < x < q_3]$  друге рівняння заміниться таким:

$$\frac{d\zeta}{dx} = -\frac{2 \left( 1 - \frac{1}{3\zeta^2} \right) \left( 1 - \frac{a}{\zeta} \right) + \frac{p}{2}x^2}{2 \left( 1 - \frac{1}{3}\zeta^2 \right) - \frac{a}{\zeta} \left( 1 - \frac{1}{\zeta^2} \right)} \cdot \frac{\zeta}{x}. \quad (37)$$

В центрі плити  $\frac{da}{dx} = \frac{d\zeta}{dx} = 0$ . Обчислення проводяться в такій послідовності. Припустимо, що  $p > p_s$ . Вибираємо  $\zeta_0 = a_0$  і інтегруємо систему (3) — (37) за формулами (36) до значення  $x = q_3$ , при якому  $\zeta_1(x=q_3) = 1$ . В інтервалі  $q_3 < x < b$   $a(x), \zeta(x)$  визначаються за формулами (18), причому стала  $C_1$  визначається з умови  $\zeta_1 = \zeta_{q_3}$ . При  $b < x < q_2$   $a(x), \zeta(x)$  визначаються за формулами (19), а сталі  $C_2$  і  $C_3$  — з останніх двох умов (20).

Значення  $q_2$  визначаємо з умови  $a(x=q_2) = -1$ , де  $a(x)$  береться з формул (19).

В інтервалі  $q_2 < x < 1$  інтегруємо систему (3)–(31), використовуючи формули (36), при граничних умовах  $\zeta = \zeta_{p_2}$ ,  $2\zeta(x=1) = a(x=1)$ .  $\zeta_0$  підбираємо так, щоб задовольнити другу граничну умову.

Коли  $(\Delta, b)$  знаходяться на кривій  $CD$ , пластичні зони появляються одночасно біля границі  $L$  і на внутрішній стороні  $L_1$  ( $x < b$ ). При  $0 < x < q_4$  мають місце формули (33). Припустивши, що  $\zeta_0$ , для визначення  $q_4$  будемо мати рівняння:

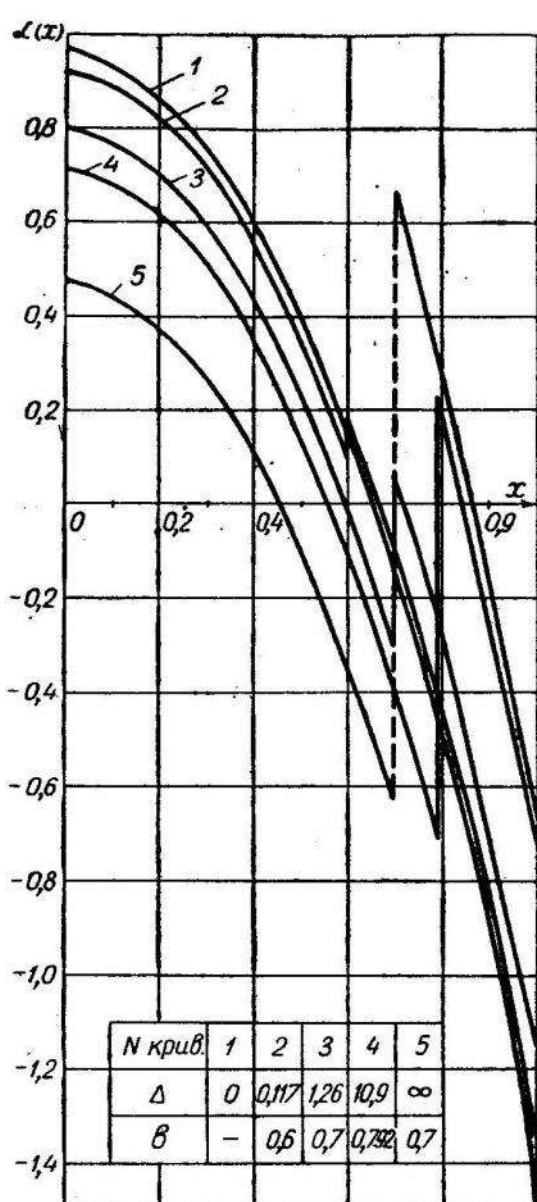


Рис. 2.

$$\frac{21}{64} p \rho^2 - \zeta_0 - 1 = 0. \quad (38)$$

Знайшовши  $\zeta(x=q_4)$ , інтегруємо систему (3)–(31) в інтервалі  $[q_4 < x < b]$  за формулами (36) і знаходимо  $a_1(x=b)$ ,  $\zeta_1(x=b)$ . За формулою (5) визначаємо  $\frac{d\omega_1}{dx}$  при  $x=b$ . Підставивши  $a_1(x=b)$  і  $\frac{d\omega_1}{dx}(x=b)$  в останні дві умови (20), одержимо два рівняння для визначення сталих  $C_2$  і  $C_3$ , які входять у формули (19). Вони мають місце на інтервалі  $[b < x < q_5]$ . Величину  $q_5$  визначаємо з умови  $a(x=q_5) = -1$ , де  $a(x=q_5)$  визначається за першою з формул (19). В інтервалі  $[q_5 < x < 1]$  інтегруємо систему (3)–(31) при граничних умовах  $\zeta = \zeta_{p_5}$ ,  $2\zeta(x=1) = a(x=1)$ .  $\zeta_0$  підбираємо так, щоб задовольнити другу граничну умову.

На рис. 2 наведені графіки функції  $a(x)$  в залежності від  $(\Delta, b)$ , які знаходяться на кривій  $ABCD$ .

#### ЛІТЕРАТУРА

- Григорьев А. С. Изгиб круглой плиты при линейном упрочнении материала. Инженерный сборник, т. 13, 1952.
- Григорьев А. С. Изгиб колцевых и круговых пластин переменной и постоянной толщины за пределом упругости. Инженерный сборник, т. 20, 1954.
- Флейшман Н. П. Пружна рівновага плити з ребрами жорсткості змінної кривизни. Наукові записки Львівського ун-ту, т. 44, вип. 8, 1957.